

## การออกแบบและการควบคุมแขนกลที่มีโครงสร้างแบบสจ์วต

### Design and Control of a Stewart Platform Manipulator

รศ.ดร.วิบูลย์ แสงวีระพันธุ์ศิริ และ ร.อ.ประสาทพร วงศ์คำช้าง  
ภาควิชาวิศวกรรมเครื่องกล คณะวิศวกรรมศาสตร์ จุฬาลงกรณ์มหาวิทยาลัย  
พญาไท กรุงเทพ 10330  
โทร 022186389, โทรสาร 022521513, E-Mail [Viboon.s@eng.chula.ac.th](mailto:Viboon.s@eng.chula.ac.th)

Viboon Sangveraphunsiri and Prasartporn Wongkamchang  
Department of Mechanical Engineering, Faculty of Engineering, Chulalongkorn University  
Tel: 022186389, Fax: 022521513

#### บทคัดย่อ

งานวิจัยนี้เป็นส่วนของการพัฒนาหุ่นยนต์อุตสาหกรรมที่มีโครงสร้างเป็นแบบขนาด รูปทรงของโครงสร้างนี้ซึ่งเรียกว่าโครงสร้างแบบสจ์วต (Stewart platform) ซึ่งประกอบด้วยส่วนฐานและส่วนที่เคลื่อนที่ โดยทั้งสองส่วนมีลักษณะเป็นแผ่นรูป 6 เหลี่ยม และมีตัวขับเคลื่อนที่เกลื่อนที่แบบเชิงเส้นจำนวน 6 ชุดเพื่อต่อ กับส่วนฐานและส่วนที่เคลื่อนที่ ทำให้ส่วนที่เคลื่อนที่มีความสามารถเคลื่อนที่ได้ 6 องศาอิสระ (6 Degree of Freedom) ใน การออกแบบโครงสร้างนั้นพิจารณาจากวิธีการวิเคราะห์ วงรีของความเฉี่ยว (Inertia Ellipsoid) การทดลองจะครอบคลุมถึง การทำ Inverse Kinematics และการประมาณค่า Forward Kinematics ซึ่งผลการทดลองได้ผลเป็นที่น่าพอใจโดยคำนึงถึงความเร็วและความผิด พลาดของการเคลื่อนที่

#### Abstract

This work is a part of the design and development of the parallel manipulator arm, the Stewart platform. The configuration is consisted of a base frame and a motion frame. Both frames are hexagons. There are six linear actuators connect both frames to form a six degree of freedom manipulator arm. The inertia ellipsoid will be applied for helping in analyzing and designing the structure. The Inverse kinematics and the approximate of the forward kinematics are explored. From the experimental results, the motion and accuracy obtained indicate the promising of the development.

#### 1. บทนำ

การพัฒนาระบบการผลิตให้มีประสิทธิภาพนั้นเป็นปัจจัยหลักของ การแข่งขันในอุตสาหกรรม ซึ่งการแข่งขันนี้เป็นตัวขับให้เกิดการ พัฒนาในด้านความรวดเร็ว ความถูกต้อง และ ความสามารถของ เครื่องจักรให้ทำงานได้หลายอย่าง จึงเป็นแรงบันดาลใจให้นักวิจัยได้

ทำการพัฒนาและคิดค้นเครื่องจักรแบบใหม่ๆ ดังนั้นจึงได้มีการนำเอา หุ่นยนต์มาใช้ในงานอุตสาหกรรมดังที่เรารสามารถเห็นในปัจจุบันนี้ และหุ่นยนต์ที่มีใช้ทั่วไปนั้นเรียกว่า "Serial Robot Manipulator" ซึ่งมี ลักษณะโครงสร้างคือที่ปลายของแขนกลแต่ละส่วนจะเชื่อมกันด้วย ข้อต่อ หุ่นยนต์แบบนี้เป็นที่นิยมแพร่หลายในอุตสาหกรรมเป็นอย่างมาก นอกจากหุ่นยนต์แบบเบ็ดหรืออนุกรมแล้ว ก็ยังมีหุ่นยนต์อิกรูปแบบหนึ่งที่เรียกว่าหุ่นยนต์แบบขนาด หรือ "Parallel Robot Manipulator" ซึ่งกำลังได้รับความสนใจมากในขณะนี้ เช่นเดียวกัน หุ่นยนต์แบบขนาดนี้มีคุณสมบัติที่ได้เปรียบหุ่นยนต์แบบ Serial Robot คือ: มีโครงสร้างที่มีความแข็งแรงกว่า สามารถที่จะรับแรงหรืออกร้าวได้สูง กว่าเนื่องจากแรงนั้นจะกระจายไปบนตัวขับแต่ละตัวของหุ่นยนต์ และมี ความถูกต้องแม่นยำมากกว่า ข้อดีได้เปรียบดังกล่าวจึงได้มีการ ศึกษาด้านค่าวัสดุและพัฒนาให้หุ่นยนต์แบบขนาดนั้นนำมาใช้งานมากยิ่ง ขึ้น

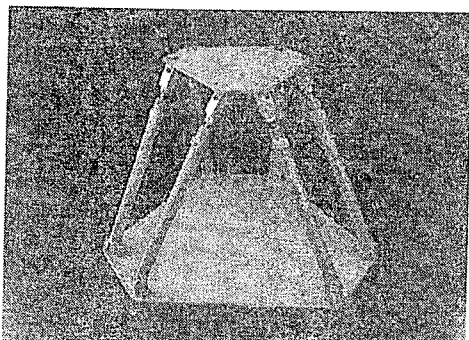
แขนกลที่มีโครงสร้างแบบสจ์วต (Stewart Platform Manipulator) นั้นเป็นหุ่นยนต์แบบขนาดซึ่งถูกนำเสนอครั้งแรกโดย D. Stewart ในปี ค.ศ.1965 เขาใช้ในการพัฒนาโครงสร้างของเครื่องจำลอง การบิน (Flight Simulator) ที่สามารถเคลื่อนที่ได้ 6 องศาอิสระ (Degree of freedom) และในปัจจุบันนี้ได้มีการนำเอามาโครงสร้างแบบนี้ มาพัฒนาเพื่อใช้ในงานด้านต่างๆ เช่น เครื่องกัดที่ใช้ในโรงงานอุตสาหกรรม เครื่องจำลองการบิน เป็นต้น

#### 2. หุ่นยนต์แบบขนาด (Parallel Robot Manipulator)

หุ่นยนต์แบบขนาด (Parallel Robot Manipulator) นั้นเป็นโครงสร้างแบบเบ็ดซึ่งปลายของแขนกล (End effector) เชื่อมต่อกับฐานโดย ใช้ตัวขับเคลื่อนแบบเส้นตรง (Linear Actuator) ตัวขับเคลื่อนนี้จะเชื่อม ต่อระหว่างฐานกับส่วนที่เคลื่อนโดยใช้ข้อต่อที่มีอิสระในการเคลื่อนที่ อย่างน้อย 2 ทิศทาง จำนวนองศาอิสระ (Degree of freedom) ของ โครงสร้างแบบขนาดนี้มีจำนวนเท่ากับจำนวนของตัวขับที่เชื่อมติดกัน

ฐานของดั้วหุ่นยนต์ ในปัจจุบันนี้ได้มีการออกแบบโครงสร้างของหุ่นยนต์แบบขานานนี้เพื่อนำมาใช้ในงานด้านต่างๆ เป็นจำนวนมาก

แขนกลที่มีโครงสร้างแบบสจิวต (Stewart Platform Manipulator) นั้นที่เราให้ความสนใจอยู่นี้เป็นหุ่นยนต์แบบขานานที่มีลักษณะแสดงในรูปที่ 1 มือสระในการเคลื่อนที่ได้ 6 ทิศทาง โดยจะเป็นตำแหน่ง (position) 3 ทิศทางและการเรียงตัว (Orientation) อีก 3 ทิศทาง



รูปที่ 1 แขนกลโครงสร้างแบบสจิวต

จากรูปที่ 1 แผ่นด้านบนนี้จะเชื่อมติดกับส่วนที่เป็นฐานโดยตัวขับเคลื่อนที่เคลื่อนที่แบบเบนเส้นจำนวน 6 ชุด ในการควบคุมตำแหน่งและการเรียงตัว (Orientation) จะทำได้โดยการเปลี่ยนความยาวของตัวขับทั้ง 6 ชุดนี้ เพื่อให้ส่วนที่เคลื่อนที่สามารถเคลื่อนที่ไปในตำแหน่งและทิศทางที่เรากำหนดได้

### 3. การวิเคราะห์สมการการเคลื่อนที่

#### 3.1 คิเนเมติกส์แบบผกผัน (The Inverse Kinematics)

เมื่อกำหนดตำแหน่งและทิศทางของจุดกึ่งกลางของปลายแขนกลที่ต้องการคือท่ากับ  $x, y, z, \alpha, \beta$  และ  $\gamma$  โดยที่  $\alpha, \beta$  และ  $\gamma$  คือมุม roll, pitch และ yaw ตามลำดับ จากตำแหน่งที่กำหนดให้ตั้งกล่าว เราสามารถนำมาคำนวณหาความยาวที่ตัวขับเคลื่อนแบบเบนเส้นนั้นจะต้องเคลื่อนที่ไปได้จากสมการต่อไปนี้

$$\begin{aligned} l_i^2 &= x^2 + y^2 + z^2 + r_p^2 + r_B^2 + 2(r_{11}p_{ix} + r_{12}p_{iy})(x - b_{ix}) \\ &+ 2(r_{21}p_{ix} + r_{22}p_{iy})(y - b_{iy}) \\ &+ 2(r_{31}p_{ix} + r_{32}p_{iy})z - 2(xb_{ix} + yb_{iy}) \end{aligned}$$

เมื่อ  $x, y, z$  เป็นตำแหน่งอ้างอิงที่เราต้องการ ส่วนทิศทางที่ต้องการนั้นกำหนดโดย Roll ( $\alpha$ )-Pitch ( $\beta$ )-Yaw ( $\gamma$ ) angles ดังนี้

$$\begin{aligned} {}^B_R &= \begin{bmatrix} r_{11} & r_{12} & r_{13} \\ r_{21} & r_{22} & r_{23} \\ r_{31} & r_{32} & r_{33} \end{bmatrix} \\ &= \begin{bmatrix} \cos\alpha\cos\beta & \cos\alpha\sin\beta - \sin\alpha\cos\gamma & \cos\alpha\sin\gamma + \sin\alpha\cos\gamma \\ \sin\alpha\cos\beta & \sin\alpha\sin\beta + \cos\alpha\cos\gamma & \sin\alpha\sin\gamma - \cos\alpha\cos\gamma \\ -\sin\beta & \cos\beta\cos\gamma & \cos\beta\sin\gamma \end{bmatrix} \end{aligned}$$

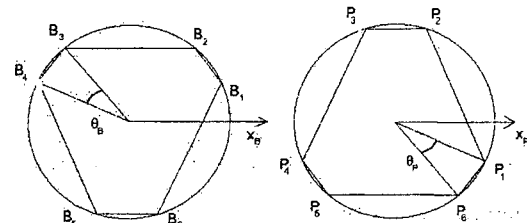
กำหนด  $r_p$  และ  $r_B$  คือรัศมีของส่วนที่เคลื่อนที่ (End-effector) และส่วนที่อยู่กับที่ (Base) ตามลำดับ และให้ตำแหน่งของส่วนที่เคลื่อนที่  $P_i$  บนระบบ  $\{P\}$  เขียนแทนด้วย  ${}^P P_i = [p_{ix} \ p_{iy} \ p_{iz}]^T$  และตำแหน่งของ  $B_i$  บนระบบ  $\{B\}$  เขียนแทนด้วย  ${}^B B_i = [b_{ix} \ b_{iy} \ b_{iz}]^T$

#### 3.2 คิเนเมติกส์แบบเดินหน้า (The Forward Kinematics)

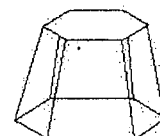
เมื่อกำหนดความยาวของตัวขับแต่ละตัวคือ  $l_i$  เมื่อ  $i=1, 2, \dots, 6$  เราสามารถหาตำแหน่ง  $x, y, z$  และทิศทางคือมุม  $\alpha, \beta, \gamma$  โดยใช้หลักการของนิวตัน-ราฟสัน (Newton-Raphson Method) รายละเอียดตามเอกสารอ้างอิงที่ [2]

### 4. การออกแบบแขนกล

ในการออกแบบแขนกลที่มีโครงสร้างแบบสจิวตนั้น ในตอนแรกจะทำการศึกษาเกี่ยวกับโครงสร้างแขนกลแบบสจิวตที่มีรูปแบบต่างๆ โดยแบบที่จะทำการศึกษานั้นมี 3 แบบ แต่ละแบบจะมีรูปแบบที่แตกต่างกันตามมุมระหว่างเส้นตรงที่ลากผ่านจุดกึ่งกลางของส่วนฐานไปยังจุดต่างๆ ทั้ง 6 จุดที่อยู่บนส่วนฐาน ( $\theta_B$ ) และมุมระหว่างเส้นตรงที่ลากผ่านจุดกึ่งกลางของส่วนเคลื่อนที่ไปยังจุดต่างๆ ทั้ง 6 จุดที่อยู่บนส่วนเคลื่อนที่ ( $\theta_P$ ) ดังรูปที่ 2 รูปที่ 3 และรูปโครงสร้างของแขนกลแบบสจิวตเมื่อมีการเปลี่ยนแปลงค่ามุม  $\theta_B$  และค่ามุม  $\theta_P$  ซึ่งในการออกแบบนั้นจะพิจารณาเปรียบเทียบระหว่างรูปแบบต่างๆ เหล่านี้



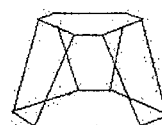
รูปที่ 2 มุม  $\theta_B$  ที่อยู่บนส่วนฐานและมุม  $\theta_P$  บนส่วนที่เคลื่อนที่



โครงสร้างแบบที่ 1

$$\theta_B = 0^\circ$$

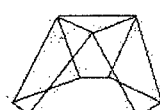
$$\theta_P = 0^\circ$$



โครงสร้างแบบที่ 2

$$\theta_B = 30^\circ$$

$$\theta_P = 30^\circ$$



โครงสร้างแบบที่ 3

$$\theta_B = 30^\circ$$

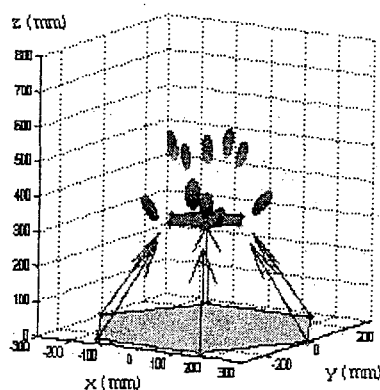
$$\theta_P = 60^\circ$$

รูปที่ 3 โครงสร้างของแขนกลแบบสจิวตเมื่อมีการเปลี่ยนแปลงค่ามุม  $\theta_B$  และค่ามุม  $\theta_P$

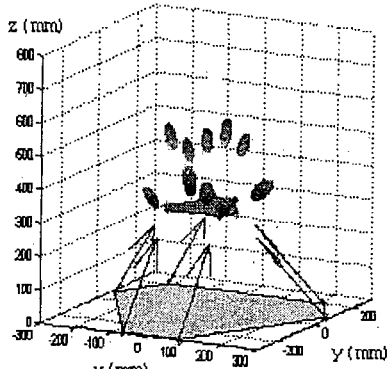
## 5. Manipability Ellipsoid

ในการออกแบบโครงสร้างของแขนกลนั้นจะใช้ทรงรีของการเคลื่อนที่ หรือ Manipability Ellipsoid ซึ่งเป็นการสร้างรูปทรงรีโดยแกนหลักคือค่าเวกเตอร์เจาะจงของเมตริกซ์ที่กำลังสนใจ การออกแบบจะทำการพิจารณา ณ จุดต่างๆ ในพื้นที่การทำงานของแขนกล โดยดูว่ารูปร่างของ Manipability Ellipsoid นั้นมีลักษณะเป็นอย่างไร โครงสร้างของแขนกลนั้นจะต้องพยายามทำให้รูปร่างรี ณ. ตำแหน่งต่าง ๆ กันมีลักษณะใกล้เคียงทรงกลมมากที่สุด ซึ่งหมายความว่าแขนกลสามารถในการถูกขับเคลื่อนที่แต่ละทิศทางไม่แตกต่างกันมากเกินไปในการศึกษาเนี้ยก็คือการออกแบบโครงสร้างของแขนกลจะใช้ทรงรีของการเคลื่อนที่ที่ใช้ในการออกแบบประสิทธิภาพของแขนกลคือ Force Manipability Ellipsoid นอกจาก Force Manipability Ellipsoid แล้วยังมีแบบอื่นอีกเช่น Velocity Manipability Ellipsoid เป็นต้น

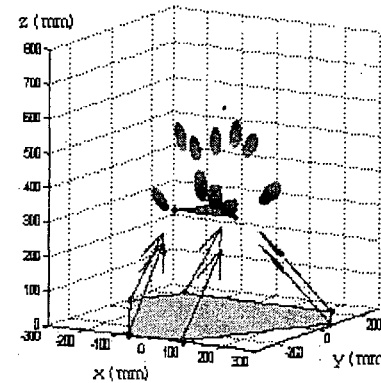
**Force Manipability Ellipsoid** หมายถึง ความสามารถของการรับแรงที่ปลายของแขนกลเนื่องมาจากการส่งถ่ายแรงจากกลุ่มของตัวขับของแขนกล โดยความสัมพันธ์นี้แทนด้วยรูปทรงรีเช่นเดียวกับ Velocity manipulability ellipsoid แต่แตกต่างในส่วนของค่าเจาะจงและเวกเตอร์เจาะจั้นคำนวนจากเมตริกซ์  $J(q)J^T(q)$  เมื่อ  $J(q)$  แทนเมตริกซ์ Jacobian ของแขนกล รายละเอียดตามเอกสารอ้างอิงที่ [6] จากการวิเคราะห์โครงสร้างของแขนกลแบบสรุวต์ ในการเลือกแบบที่จะสร้างนั้นพิจารณาจากโครงสร้าง 3 แบบ ดังแสดงในรูปที่ 4 - 6



รูปที่ 4 Force ellipsoid ของโครงสร้างแบบที่ 1



รูปที่ 5 Force ellipsoid ของโครงสร้างแบบที่ 2

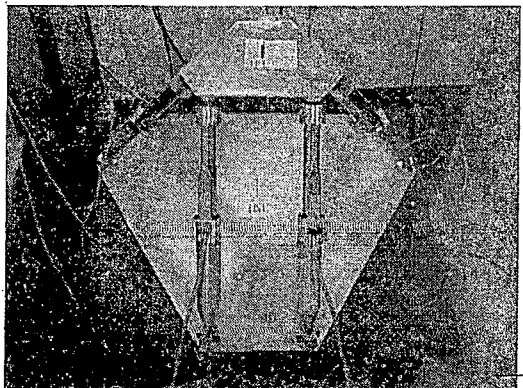


รูปที่ 6 Force ellipsoid ของโครงสร้างแบบที่ 3

จากรูปที่ 4-6 นั้นแสดงถึงรูปร่างรีของแรงของโครงสร้างทั้ง 3 แบบจากการทดสอบจะเห็นได้ว่าแขนกลแบบที่ 2 และแบบที่ 3 นั้นมีรูปร่างรีของความเรียบง่ายใกล้เคียงกันและใกล้เคียงกับทรงกลมมากกว่าแบบอื่น แต่ยังไงก็ตามในการสร้างแขนกลตามโครงสร้างแบบที่ 3 นั้นก่อนข้างที่จะสร้างได้ลำบาก เนื่องจากส่วนที่เคลื่อนที่นั้นเป็นรูปสามเหลี่ยมในการนำตัวขับหันหางสองด้านมาเชื่อมต่อกับส่วนนี้นั้นจะต้องออกแบบข้อต่อเป็นพิเศษ ดังนั้นในการพัฒนาแขนกลนี้เราจึงเลือกแบบที่ 2

**Velocity Manipability Ellipsoid** หมายถึง ความสามารถของการเปลี่ยนตำแหน่งของปลายแขนกลไปยังตำแหน่งต่างๆ ภายใต้พื้นที่การทำงาน ซึ่งสัมพันธ์กับความเร็วของตัวขับของแขนกล ความสัมพันธ์นี้จะแสดงได้ด้วยรูปทรงรีโดยความยาวของแกนหลักจะมีขนาดเท่ากับรากที่สองของค่าเจาะจง (Eigenvalue) และมีทิศทางไปตามเวกเตอร์เจาะจง (Eigenvector) ของเมตริกซ์  $J^{-1}(q)J^T(q)$  เมื่อ  $J(q)$  แทนเมตริกซ์ Jacobian ของแขนกล จะเห็นว่า Velocity Manipulator Ellipsoid นั้นเป็นส่วนกลับของ Force Manipulator Ellipsoid ซึ่งจะยังไม่กล่าวถึงในบทความนี้

โครงสร้างของแขนกลแบบจุพา-สจ้วต (Chula-Stewart Parallel Platform) ที่สร้างขึ้นในงานวิจัยนี้เป็นแบบที่ 2 ดังแสดงในรูปที่ 5 และรูปที่ 7 ทั้งนี้เนื่องจากว่าถ้าเราศึกษาในเรื่องของ Inertia Ellipsoid แล้วเราจะพบว่าแบบที่ 2 นี้มี Inertia Ellipsoid เหมาะสมที่สุด ซึ่งหมายความว่าการควบคุมเชิงพลศาสตร์นั้นในแบบที่ 2 นี้มีการกระจายความหน่วง (Inertia) หรือแรงที่ใช้ในการเคลื่อนที่ทางพลศาสตร์มีขนาดใกล้เคียงกันในทิศทางการเคลื่อนที่ต่าง ๆ ที่แขนกลแบบสจ้วตแบบนี้สามารถเคลื่อนที่ครอบคลุมได้



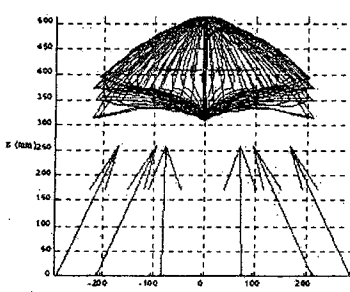
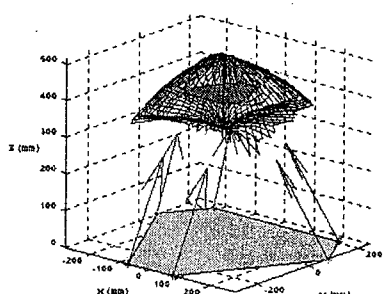
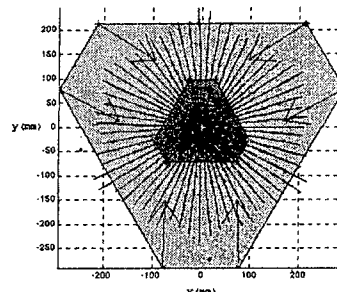
รูปที่ 7 เครื่องเรียนของขั้นตอนการแบบจำลองจุฬาฯ

## 6. พื้นที่การทำงาน (Workspace)

ในการคำนวณหาพื้นที่การทำงานของแขนกลที่มีโครงสร้างแบบ สลิ่วตันน์ จะมีเงื่อนไขดังๆ ดังนี้

- 1) ระยะการเคลื่อนที่ที่จำกัดของตัวขับ
- 2) หมุนที่ข้อต่อสามารถเคลื่อนที่ได้สูงสุด
- 3) การซักกันระหว่างตัวขับแต่ละตัว

จากเงื่อนไขทั้งสามประการนี้สามารถนำไปเขียนโปรแกรมเพื่อใช้ในการตรวจสอบว่าตำแหน่งที่กำหนดนั้นอยู่ภายในพื้นที่การทำงานหรือไม่ และเขียนโปรแกรมเพื่อใช้ในการค้นหาขอบเขตพื้นที่การทำงานของแขนกลรายละเอียดตามเอกสารอ้างอิงที่ [7] เมื่อทำการทดสอบโปรแกรมที่ตำแหน่งที่กำหนดให้การเรียงตัวหรือ Orientation ของส่วนที่เคลื่อนที่ให้มีค่าคงที่ โดยให้เท่ากับ  $roll=0^\circ$ ,  $pitch=0^\circ$ ,  $yaw=0^\circ$  ผลลัพธ์ที่คำนวณได้จากโปรแกรมพิพัฒนาขึ้นแสดงดังรูปที่ 8 - 10

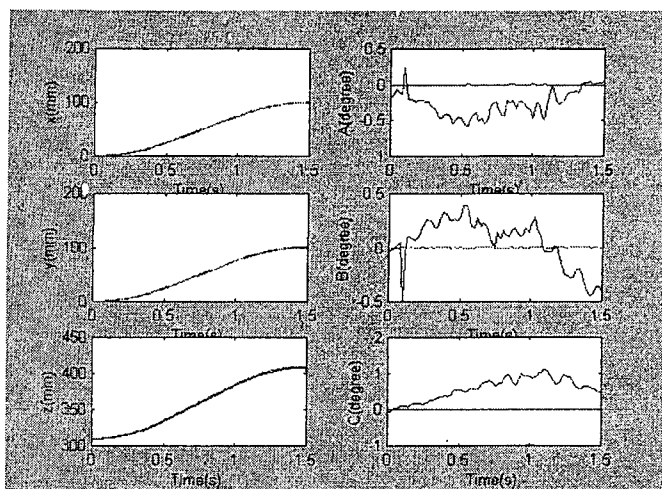
รูปที่ 8 ภาพด้านข้างของพื้นที่การทำงานของแขนกลแบบสลิ่วตันที่กิต  
ทาง  $roll=0^\circ$ ,  $pitch=0^\circ$ ,  $yaw=0^\circ$ รูปที่ 9 ภาพสามมิติของพื้นที่การทำงานของแขนกลแบบสลิ่วตันที่กิต  
ทาง  $roll=0^\circ$ ,  $pitch=0^\circ$ ,  $yaw=0^\circ$ รูปที่ 10 ภาพด้านบนของพื้นที่การทำงานของแขนกลแบบสลิ่วตันที่ กิต  
ทาง  $roll=0^\circ$ ,  $pitch=0^\circ$ ,  $yaw=0^\circ$ 

## 7. การทดสอบ

การทดสอบเพื่อถูกความละเอียดและความแม่นยำในการขับเคลื่อน โดยการควบคุมตำแหน่งของตัวขับเคลื่อนแต่ละตัว ในตอนเริ่มต้นจุดกึ่งกลางของส่วนที่เคลื่อนที่ (Moving frame) ของแขนกลจะอยู่ที่ตำแหน่ง HOME ซึ่งที่ตำแหน่งนี้อยู่ที่ตำแหน่ง  $x = 0$ ,  $y = 0$ ,  $z = 310$  mm,  $roll = 0^\circ$ ,  $pitch = 0^\circ$ ,  $yaw = 0^\circ$  และทำการทดสอบการเคลื่อนที่ของส่วนที่เคลื่อนที่โดยกำหนดตำแหน่งเริ่มต้นและตำแหน่งสุดท้ายให้เคลื่อนที่ไปตามตำแหน่งและทิศทางแต่ละจุดของเส้นทางตลอดการเคลื่อนที่ ด้วยความเร็วและความเร่งที่กำหนด การทดสอบนั้นจะทำการกำหนดตำแหน่งและทิศทางการเคลื่อนที่ทั้งหมด 5 ตำแหน่ง คือ

### 7.1 ตำแหน่งที่ 1 การเคลื่อนที่แบบเลื่อนตัว (Sliding motion)

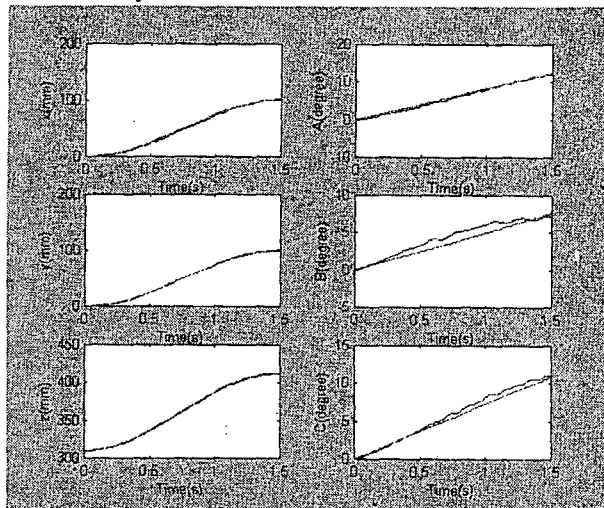
ต้องการให้แขนกลเคลื่อนที่จากตำแหน่ง HOME ไปยังตำแหน่ง  $x = 100$ ,  $y = 100$ ,  $z = 410$  mm,  $roll = 0^\circ$ ,  $pitch = 0^\circ$ ,  $yaw = 0^\circ$  ด้วยความเร็วสูงสุดเท่ากับ 0.1 เมตร/วินาที และความเร่งสูงสุดเท่ากับ 0.2 เมตร/วินาที<sup>2</sup> ให้ผลการทดลองดังรูปที่ 11

รูปที่ 11 ผลการทดลองเมื่อปลายแขนกลเคลื่อนที่จากตำแหน่งเริ่ม  
ต้นไปยังตำแหน่ง  $x = 100$ ,  $y = 100$ ,  $z = 410$  mmรูปที่ 11 เป็นการทดสอบการเคลื่อนที่ของจุดกึ่งกลางของส่วนที่เคลื่อนที่โดยลักษณะการเคลื่อนที่เป็นเส้นตรงเป็นระยะตามแนวแกน  $x$

$x = 100, y = 100, z = 100 \text{ mm}$  โดยไม่มีการเคลื่อนที่แบบหมุนคือรักษา มุมของส่วนที่เคลื่อนที่ให้คงที่เท่ากับ roll =  $0^\circ$ , pitch =  $0^\circ$ , yaw =  $0^\circ$  จะเห็นได้ว่าส่วนที่เคลื่อนที่นั้นสามารถเคลื่อนที่ไปยังตำแหน่งที่ต้องการ ได้แต่จะมีค่าผิดพลาดในระหว่างการเคลื่อนที่โดยมีความผิดพลาดสูงสุด ที่เกิดขึ้นตามแกน  $x$  เท่ากับ 1.5 ม.m. ความผิดพลาดสูงสุดที่เกิดขึ้นตามแกน  $y$  เท่ากับ 1.5 ม.m. ความผิดพลาดสูงสุดที่เกิดขึ้นตามแกน  $z$  เท่ากับ 2.0 ม.m. ความผิดพลาดสูงสุดของมุม row เท่ากับ 1.1 องศา ความผิดพลาดสูงสุดของมุม pitch เท่ากับ 0.5 องศา ความผิดพลาดสูงสุดของมุม yaw เท่ากับ 0.6 องศา

### 7.2 ตำแหน่งที่ 2 การเคลื่อนที่แบบเลื่อนด้วยแบบหมุน

ต้องการให้แขนกลเคลื่อนที่จากตำแหน่ง HOME ไปยังตำแหน่ง  $x = 100, y = 100, z = 410 \text{ mm}$ , roll =  $10^\circ$ , pitch =  $10^\circ$ , yaw =  $10^\circ$  ด้วยความเร็วสูงสุดเท่ากับ 0.1 เมตร/วินาที และความเร่งสูงสุดเท่ากับ 0.2 เมตร/วินาที<sup>2</sup> ความเร็วเชิงมุมสูงสุดเท่ากับ 10 องศา/วินาที ได้ผล การทดลองดังรูปที่ 12

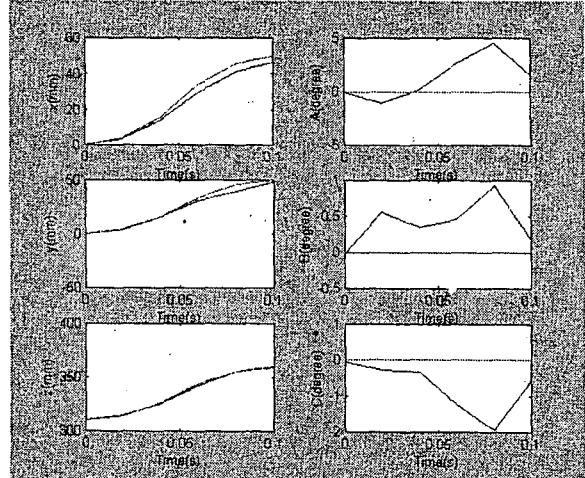


รูปที่ 12 ผลการทดลองเมื่อปัจจัยแขนกลเคลื่อนที่จากตำแหน่งเริ่มต้นไปยังตำแหน่ง  $x = 100, y = 100, z = 410 \text{ mm}$ , roll =  $10^\circ$ , pitch =  $10^\circ$ , yaw =  $10^\circ$

รูปที่ 12 เป็นการทดสอบการเคลื่อนที่ของจุดกึ่งกลางของส่วนที่เคลื่อนที่โดยลักษณะการเคลื่อนที่เป็นเส้นตรงเป็นระยะตามแนวแกน  $x = 100, y = 100, z = 100 \text{ mm}$  และมีการเคลื่อนที่แบบหมุนโดยมุมของส่วนที่เคลื่อนที่หมุนเป็นมุมเท่ากับ roll =  $10^\circ$ , pitch =  $10^\circ$ , yaw =  $10^\circ$  จะเห็นได้ว่าส่วนที่เคลื่อนที่นั้นสามารถเคลื่อนที่ไปยังตำแหน่งที่ต้องการได้แต่จะมีค่าผิดพลาดในระหว่างการเคลื่อนที่โดยมีความผิดพลาดสูงสุดที่เกิดขึ้นตามแกน  $x$  เท่ากับ 2.8 ม.m. ความผิดพลาดสูงสุดที่เกิดขึ้นตามแกน  $y$  เท่ากับ 1.4 ม.m. ความผิดพลาดสูงสุดที่เกิดขึ้นตามแกน  $z$  เท่ากับ 1.6 ม.m. ความผิดพลาดสูงสุดของมุม row เท่ากับ 1.0 องศา ความผิดพลาดสูงสุดของมุม pitch เท่ากับ 1.3 องศา ความผิดพลาดสูงสุดของมุม yaw เท่ากับ 0.3 องศา

### 7.3 ตำแหน่งที่ 3 การเคลื่อนที่แบบเลื่อนด้วย

ต้องการให้แขนกลเคลื่อนที่จากตำแหน่ง HOME ไปยังตำแหน่ง  $x = 50 \text{ mm}, y = 50 \text{ mm}, z = 360 \text{ mm}$ , roll =  $0^\circ$ , pitch =  $0^\circ$ , yaw =  $0^\circ$  ด้วยความเร็วสูงสุดเท่ากับ 1 เมตร/วินาที และความเร่งสูงสุดเท่ากับ 20 เมตร/วินาที<sup>2</sup> ได้ผลการทดลองดังรูปที่ 13

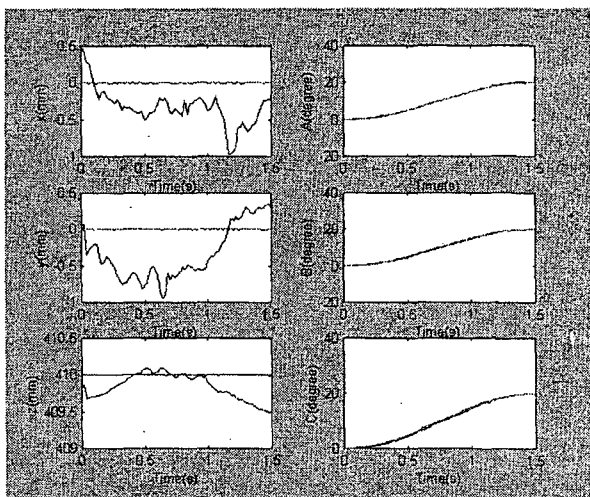


รูปที่ 13 ผลการทดลองเมื่อปัจจัยแขนกลเคลื่อนที่จากตำแหน่งเริ่มต้นไปยังตำแหน่ง  $x = 50 \text{ mm}, y = 50 \text{ mm}, z = 360 \text{ mm}$

รูปที่ 13 เป็นการทดสอบการเคลื่อนที่ของจุดกึ่งกลางของส่วนที่เคลื่อนที่โดยลักษณะการเคลื่อนที่เป็นเส้นตรงเป็นระยะตามแนวแกน  $x = 50, y = 50, z = 50 \text{ mm}$  โดยไม่มีการเคลื่อนที่แบบหมุน แต่จะมีความเร็วสูงสุดเท่ากับ 1 เมตรต่อวินาที จะเห็นได้ว่าส่วนที่เคลื่อนที่นั้นสามารถเคลื่อนที่ไปยังตำแหน่งที่ต้องการได้แต่จะมีค่าผิดพลาดในระหว่างการเคลื่อนที่โดยมีความผิดพลาดสูงสุดที่เกิดขึ้นตามแกน  $x$  เท่ากับ 4.8 ม.m. ความผิดพลาดสูงสุดที่เกิดขึ้นตามแกน  $y$  เท่ากับ 6.8 ม.m. ความผิดพลาดสูงสุดที่เกิดขึ้นตามแกน  $z$  เท่ากับ 1.1 ม.m. ความผิดพลาดสูงสุดของมุม row เท่ากับ 4.5 องศา ความผิดพลาดสูงสุดของมุม pitch เท่ากับ 0.9 องศา ความผิดพลาดสูงสุดของมุม yaw เท่ากับ 2.0 องศา

### 7.4 ตำแหน่งที่ 4 การเคลื่อนที่แบบหมุน

ต้องการให้แขนกลเคลื่อนที่จากตำแหน่ง  $x = 0, y = 0, z = 410 \text{ mm}$ , roll =  $0^\circ$ , pitch =  $0^\circ$ , yaw =  $0^\circ$  ไปยังตำแหน่ง  $x = 0, y = 0, z = 410 \text{ mm}$ , roll =  $20^\circ$ , pitch =  $20^\circ$ , yaw =  $20^\circ$  ด้วยความเร็วเชิงมุมสูงสุดเท่ากับ 20 องศา/วินาที และความเร่งเชิงมุมสูงสุดเท่ากับ 40 องศา/วินาที<sup>2</sup> ได้ผลการทดลองดังรูปที่ 14



รูปที่ 14 ผลการทดสอบเมื่อปลายแขนกลเคลื่อนที่จากตำแหน่งเริ่มต้นไปยังตำแหน่ง  $roll = 20^\circ$ ,  $pitch = 20^\circ$ ,  $yaw = 20^\circ$

รูปที่ 14 เป็นการทดสอบการเคลื่อนที่ของจุดกึ่งกลางของส่วนที่เคลื่อนที่โดยลักษณะการเคลื่อนที่เป็นวงกลมในระนาบ xy และไม่มีการเคลื่อนที่แบบหมุน จะเห็นได้ว่าส่วนที่เคลื่อนที่นั้นสามารถเคลื่อนที่ไปยังตำแหน่งที่ต้องการได้แต่จะมีค่าผิดพลาดในระหว่างการเคลื่อนที่โดยมีความผิดพลาดสูงสุดที่เกิดขึ้นตามแกน x เท่ากับ 4.4 ม.ม. ความผิดพลาดสูงสุดที่เกิดขึ้นตามแกน y เท่ากับ 6.6 ม.ม. ความผิดพลาดสูงสุดที่เกิดขึ้นตามแกน z เท่ากับ 2.0 ม.ม. ความผิดพลาดสูงสุดของมุม roll เท่ากับ 1.3 องศา ความผิดพลาดสูงสุดของมุม pitch เท่ากับ 2.2 องศา ความผิดพลาดสูงสุดของมุม yaw เท่ากับ 2.0 องศา

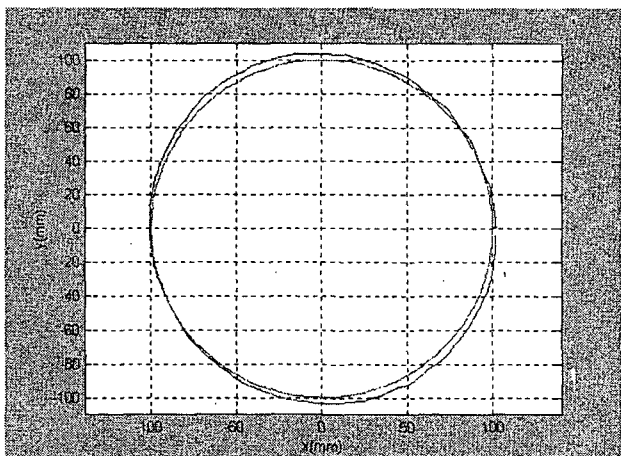
### 7.5 ตำแหน่งที่ 5 การเคลื่อนที่เป็นวงกลม

ต้องการให้แขนกลเคลื่อนที่เป็นวงกลมดังสมการ

$$x(t) = 100 \cos(3.14t)$$

$$y(t) = 100 \sin(3.14t)$$

โดยรักษาระดับความสูงที่  $z = 410$  mm และมุมคงที่เท่ากับ  $roll = 0^\circ$ ,  $pitch = 0^\circ$ ,  $yaw = 0^\circ$  ตำแหน่งเริ่มต้นอยู่ที่  $x = 100$ ,  $y = 0$ ,  $z = 410$  mm,  $roll = 0^\circ$ ,  $pitch = 0^\circ$ ,  $yaw = 0^\circ$  ได้ผลการทดสอบดังรูปที่ 15



รูปที่ 15 ผลการทดสอบเมื่อปลายแขนกลเคลื่อนที่เป็นวงกลม

รูปที่ 15 เป็นการทดสอบการเคลื่อนที่ของจุดกึ่งกลางของส่วนที่เคลื่อนที่โดยลักษณะการเคลื่อนที่เป็นวงกลมในระนาบ xy และไม่มีการเคลื่อนที่แบบหมุน จะเห็นได้ว่าส่วนที่เคลื่อนที่นั้นสามารถเคลื่อนที่ไปยังตำแหน่งที่ต้องการได้แต่จะมีค่าผิดพลาดในระหว่างการเคลื่อนที่โดยมีความผิดพลาดสูงสุดที่เกิดขึ้นตามแกน x เท่ากับ 2.4 ม.ม. ความผิดพลาดสูงสุดที่เกิดขึ้นตามแกน y เท่ากับ 5.0 ม.ม. ความผิดพลาดสูงสุดที่เกิดขึ้นตามแกน z เท่ากับ 1.65 ม.ม. ความผิดพลาดสูงสุดของมุม roll เท่ากับ 1.2 องศา ความผิดพลาดสูงสุดของมุม pitch เท่ากับ 0.85 องศา ความผิดพลาดสูงสุดของมุม yaw เท่ากับ 1.0 องศา

### 8. สรุปผลการวิจัย

งานวิจัยนี้เป็นการออกแบบแขนกลที่มีโครงสร้างแบบข่านคือ มีโครงสร้างเป็นแบบปีดโดยรูปแบบของโครงสร้างนี้เรียกว่า “โครงสร้างแบบสี่เหลี่ด” ในการออกแบบนี้จะคำนึงถึงการกระจายความหน่วงโดยการคำนวนหา Inertia Ellipsoid จากโครงสร้างที่มีรูปร่างต่างกัน 3 แบบ และเลือกแบบที่เหมาะสม

จากการทดสอบโครงสร้างที่สร้างขึ้นนี้ ได้ทำการทดสอบ โดยใช้จุดกึ่งกลางของส่วนที่เคลื่อนที่ (Moving frame) เป็นตำแหน่งที่พิจารณาโดยกำหนดการเคลื่อนที่ของตำแหน่งเริ่มต้นไปยังตำแหน่งต่อๆ ไป ตำแหน่งแล้วบันทึกค่าความยาวของตัวขับแต่ละตัว นำค่าที่ได้มาคำนวนโดย Forward Kinematics จะได้ค่าตำแหน่ง (position) และการเรียงตัว (Orientation) ในช่วงเวลาของการเคลื่อนที่ ผลการคำนวนคือส่วนที่เคลื่อนที่สามารถเคลื่อนที่แบบเลื่อนด้วยความเร็วสูงสุดเท่ากับ 1.0 เมตรต่อวินาที และการเคลื่อนที่แบบหมุนด้วยความเร็วสูงสุดเท่ากับ 20 องศาต่อวินาทีได้ โดยมีความผิดพลาดของระยะการเคลื่อนที่ไม่เกิน 6.8 มิลลิเมตร ในระยะการเคลื่อนที่ 100 มิลลิเมตร และความผิดพลาดเชิงมุมสูงสุดไม่เกิน 4.5 องศา การทดสอบนี้เป็นการทดสอบที่มีความเร็วค่อนข้างสูง และค่าความผิดพลาดดังกล่าวเป็นค่าความผิดพลาดรวม ซึ่งส่วนหนึ่งเกี่ยวกับการประมาณค่าในส่วนของ Forward Kinematics โดยใช้การประมาณค่าของนิวตัน-ราฟสัน (Newton-Raphson Method). ซึ่งในวิจัยต่อไปจะปรับปรุงส่วนของระบบควบคุมการเคลื่อนที่ข้อตัวขับเคลื่อนให้ดียิ่งขึ้นและการปรับปรุงการหา Forward Kinematics

### เอกสารอ้างอิง

- [1] Walter F. Smith, Jackson and Tull, Charles C. Nguyen, "Mechanical Analysis And Design Of A Six-Degree-Of-Freedom Robotic Wrist For Space Assembly", IEEE Journal of Robotics and Automotion, pp.177-181, 1991
- [2] Charles C. Nguyen, Zhen-Lei Zhou, Sami S. Antrazi, Charles E. Campbell "Efficient Computation of Forward Kinematics and Jacobian Matrix of A Stewart Platform-Based Manipulator", IEEE Journal of Robotics and Automotion, pp.869-874, 1991

- [3] Oren Masory, Jian Wang, and Hanqi Zhuang, "On the Accuracy of A Stewart Platform-Part II Kinematics Calibration and Compensation", IEEE Journal of Robotics and Automation,pp.725-731,1993
- [4] S.E. Salcudean, P.A. Drexel, "A Six Degree-of-Freedom, Hydraulic, One Person Motion Simulator", IEEE Journal of Robotics and Automation, pp.2437-2443,1994
- [5] Lorenzo Sciavicco, Bruno Siciliano, "Modeling and Control of Robot Manipulators", McGraw-Hill
- [6] Kazuhiro Kosuge, Minoru Okuda, " Input/Output Force Analysis of Stewart Platform Type of Manipulators", Proceedings of the 1993 IEEE/RSJ International Conference on Intelligent Robots and System, 1993.
- [7] Joseph P. Conti, Charles M. Clinton, "Workspace variation of a Heapod Machine Tool", National Institute of Standard and Technology